

Динамическая неустойчивость тонкостенного трубчатого стержня при солнечном нагреве

И.Н. Воробьев

В работе рассмотрена плоская задача динамической неустойчивости тонкостенного трубчатого стержня при солнечном нагреве с учетом внешнего и внутреннего теплоизлучения. Для решения связанной задачи термоупругих колебаний стержня и нестационарной теплопроводности использовался метод конечных элементов. Выполнены расчеты нелинейных термоупругих колебаний и динамической неустойчивости стержня при нестационарном солнечном нагреве.

Ключевые слова: термоупругость; колебания; нелинейная динамика; метод конечных элементов, динамическая неустойчивость.

Работа выполнена при финансовой поддержке Российского фонда фундаментальных исследований (код проекта 12-08-00577)

Введение

На космических аппаратах (КА) в качестве удлинителей для различных грузов и приборов, а также штанг гравитационной стабилизации, могут использоваться выдвигаемые тонкостенные стержни, изготовленные из предварительно напряженной навитой на барабан металлической ленты. Когда два слоя ленты, сваренных по боковым кромкам, после схода с барабана выгибаются в разные стороны, то получается трубчатый стержень с замкнутым контуром поперечного сечения, близким по форме к окружности. Такие стержни могут иметь большую длину и под воздействием солнечных лучей могут испытывать значительный термоупругий изгиб, вынужденные колебания (при изменении ориентации и освещения) и автоколебания (вследствие динамической неустойчивости, обусловленной влиянием упругих деформаций на углы падения лучей и приток тепла). Вследствие высокой гибкости таких стержней их колебания могут быть геометрическими нелинейными и могут иметь большие амплитуды перемещений и углов поворота. Данные явления могут приводить к серьезным проблемам, таким как «раскачивание» спутника на орбите, вследствие сильных

термоупругих колебаний штанг гравитационной стабилизации и как следствие вывод данного спутника из строя.

Плоская задача изгиба стержня

Рассмотрим изгиб кругового нерастяжимого стержня в своей плоскости (рис. 1). Запишем уравнения равновесия для элементарного участка криволинейного стержня длиной ds (рис. 2).

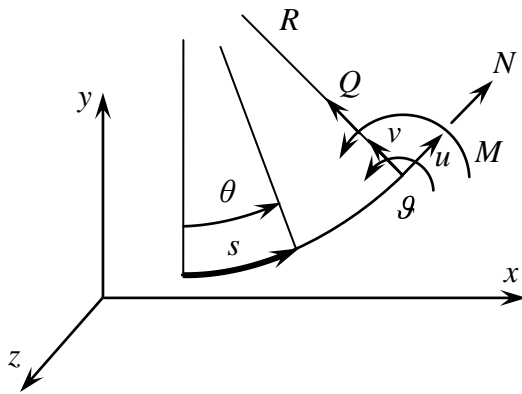


Рис. 1

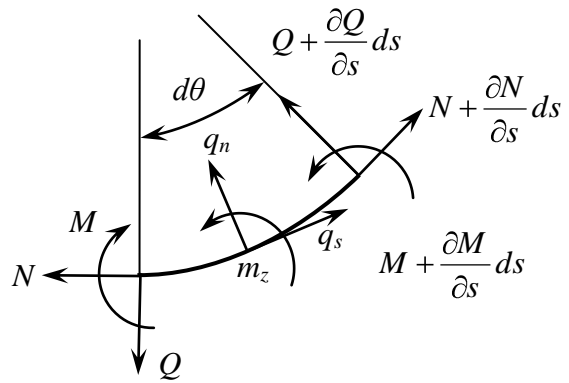


Рис. 2

Уравнения равновесия записываются в виде:

$$\begin{aligned} \frac{\partial N}{\partial s} ds - Q d\varphi + q_s ds &= 0; \\ \frac{\partial Q}{\partial s} ds + N d\varphi + q_n ds &= 0; \\ \frac{\partial M}{\partial s} ds + Q ds + m_z ds &= 0. \end{aligned} \quad (1)$$

Здесь q_s , q_n , m_z – распределенные внешние усилия и момент, действующие на стержень, N , Q , M – нормальная, поперечная силы и изгибающий момент.

Перепишем данные уравнения с учетом того, что $ds = R d\theta$:

$$\begin{aligned} \frac{\partial N}{\partial \theta} - Q + q_s R &= 0; \\ \frac{\partial Q}{\partial \theta} + N + q_n R &= 0; \\ \frac{\partial M}{\partial \theta} + QR + m_z R &= 0. \end{aligned} \quad (2)$$

Из условия нерастяжимости стержня ($\epsilon_s = \frac{\partial u}{\partial s} - \frac{v}{R} = 0$), получим

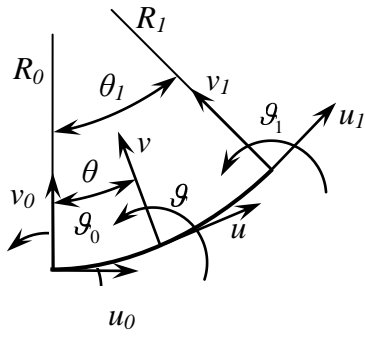


Рис. 3

$$v = \frac{\partial u}{\partial \theta} \text{ и } \vartheta = \frac{\partial v}{\partial s} + \frac{u}{R} = \frac{1}{R} \left(u + \frac{\partial^2 u}{\partial \theta^2} \right) \quad (3)$$

Используя соотношения (3) и $M = EI \frac{\partial \vartheta}{\partial s}$, полагая внешние нагрузки равные нулю, из (2) получим дифференциальное уравнение в перемещениях

$$\frac{d^6 u}{d\theta^6} + 2 \frac{d^4 u}{d\theta^4} + \frac{d^2 u}{d\theta^2} = 0. \quad (4)$$

Решение этого уравнения имеет вид:

$$u = \alpha_1 + \alpha_2 \theta + \alpha_3 \sin \theta + \alpha_4 \cos \theta + \alpha_5 \theta \sin \theta + \alpha_6 \theta \cos \theta; \quad (5)$$

тогда

$$\begin{aligned} v &= \alpha_2 + \alpha_3 \cos \theta - \alpha_4 \sin \theta + \alpha_5 (\sin \theta + \theta \cos \theta) + \alpha_6 (\cos \theta - \theta \sin \theta); \\ \frac{\partial v}{\partial \theta} &= -\alpha_3 \sin \theta - \alpha_4 \cos \theta + \alpha_5 (\cos \theta + \cos \theta - \theta \sin \theta) + \alpha_6 (-\sin \theta - \sin \theta - \theta \cos \theta); \\ R \frac{\partial \vartheta}{\partial \theta} &= \alpha_2 - 2\alpha_5 \sin \theta - 2\alpha_6 \cos \theta. \end{aligned} \quad (6)$$

где $\alpha_1, \alpha_2, \alpha_3, \alpha_4, \alpha_5, \alpha_6$ - неизвестные коэффициенты.

Пусть в пределах конечного элемента (КЭ) радиус кривизны R меняется незначительно от R_0 при $\theta = \theta_0 = 0$ до R_1 при $\theta = \theta_1$ (рис. 3), тогда

$$R = \bar{R} = \frac{1}{2} (R_0 + R_1) = \text{const}.$$

Вектор коэффициентов $\mathbf{a} = [\alpha_1 \alpha_2 \alpha_3 \alpha_4 \alpha_5 \alpha_6]^T$, выражается через вектор обобщенных координат КЭ $\mathbf{q}^{(k)} = [u_0 v_0 \vartheta_0 u_1 v_1 \vartheta_1]^T$ с помощью матрицы преобразования

$$\mathbf{a} = \mathbf{A}_1^{-1} \mathbf{q} \quad (7)$$

где

$$\mathbf{A}_1 = \begin{bmatrix} 1 & 0 & 0 & 1 & 0 & 0 \\ 0 & 1 & 1 & 0 & 0 & 1 \\ \frac{1}{R_0} & 0 & 0 & 0 & \frac{2}{R_0} & 0 \\ 1 & \theta_1 & \sin \theta_1 & \cos \theta_1 & \theta_1 \sin \theta_1 & \theta_1 \cos \theta_1 \\ 0 & 1 & \cos \theta_1 & -\sin \theta_1 & \sin \theta_1 + \theta_1 \cos \theta_1 & \cos \theta_1 - \theta_1 \sin \theta_1 \\ \frac{1}{R_1} & \frac{\theta_1}{R_1} & 0 & 0 & \frac{2}{R_1} \cos \theta_1 & -\frac{2}{R_1} \sin \theta_1 \end{bmatrix} \quad (8)$$

Потенциальная энергия КЭ стержня записывается в виде:

$$\Pi^{(1)} = \frac{1}{2} \int_0^{s_1} M \frac{\partial \vartheta}{\partial s} ds = \frac{1}{2} \int_0^{\theta_1} M \frac{\partial \vartheta}{\partial \theta} d\theta = \frac{1}{2} \mathbf{a}^T \mathbf{K}_a^{(1)} \mathbf{a}. \quad (9)$$

где

$$\mathbf{K}_a^{(1)} = 2 \frac{EI}{R^3} \begin{bmatrix} 0 & 0 & 0 & 0 & 0 & 0 \\ 0 & \frac{\theta_1}{2} & 0 & 0 & -(1-c_1) & -s_1 \\ 0 & 0 & 0 & 0 & 0 & 0 \\ 0 & 0 & 0 & 0 & 0 & 0 \\ 0 & -(1-c_1) & 0 & 0 & (\theta_1 - s_1 c_1) & s_1^2 \\ 0 & -s_1 & 0 & 0 & s_1^2 & (\theta_1 + s_1 c_1) \end{bmatrix} \quad (10)$$

Подставляя преобразования (7) в (9), запишем потенциальную энергию криволинейного КЭ при его изгибе в плоскости через вектор обобщенных координат КЭ:

$$\Pi_k = \frac{1}{2} \mathbf{a}^T \mathbf{K}_a^{(k)} \mathbf{a} = \frac{1}{2} \mathbf{q}^{(k)T} \mathbf{K}_k \mathbf{q}^{(k)}; \quad \mathbf{K}_k = \mathbf{A}_1^{-1T} \mathbf{K}_a^{(k)} \mathbf{A}_1^{-1}. \quad (11)$$

где \mathbf{K}_k - матрица жесткости 1-го элемента.

Потенциальная энергия всего стержня получается путем суммирования по всем КЭ.

$$\Pi = \sum_{k=1}^N \Pi_k. \quad (12)$$

Кинетическую энергию системы запишем в форме метода сосредоточенных масс, учитывая дополнительно приведенные к узлам моменты инерции:

$$T = \frac{1}{2} \sum_{k=0}^n \left[m_k (\dot{u}_k^2 + \dot{v}_k^2) + J_k \dot{\vartheta}_k^2 + 2S_{x,k} \dot{u}_k \dot{\vartheta}_k + 2S_{y,k} \dot{v}_k \dot{\vartheta}_k \right] \quad (13)$$

где m_k , $S_{x,k}$, $S_{y,k}$, J_k - приведенные к k -му сечению сосредоточенная масса, статические моменты относительно оси x и y и массовый момент инерции.

Задача нестационарной теплопроводности при солнечном нагреве стержня

Представим безразмерную температуру в виде, ограничиваясь в разложение в ряд Фурье только двумя слагаемыми:

$$\tau = \tau_0 + \tau_1 \cos \theta \quad (14)$$

Выражение для температуры входит в уравнение теплопроводности [6] в четвертой степени:

$$\begin{aligned}
\tau^4 &= \tau_0^4 + 4\tau_0^2\tau_1^2 \cos^2 \theta + \tau_1^4 \cos^4 \theta + 4\tau_0^3\tau_1 \cos \theta + 2\tau_0^2\tau_1^2 \cos^2 \theta + 4\tau_1^3\tau_0 \cos^3 \theta = \\
&= \tau_0^4 + 4\tau_0^2\tau_1^2 \frac{1}{2} (\cos 2\theta + 1) + \tau_1^4 \frac{1}{8} (\cos 4\theta + 4\cos 2\theta + 3) + 4\tau_0^3\tau_1 \cos \theta + \\
&+ 2\tau_0^2\tau_1^2 \frac{1}{2} (\cos 2\theta + 1) + 4\tau_1^3\tau_0 \frac{1}{4} (\cos 3\theta + 3\cos \theta);
\end{aligned} \tag{15}$$

Пренебрегая слагаемыми с $\cos 2\theta$, $\cos 3\theta$, $\cos 4\theta$, получим

$$\tau^4 \approx \left(\tau_0^4 + 3\tau_0^2\tau_1^2 + \frac{3}{8}\tau_1^4 \right) + (\tau_0^3\tau_1 + 3\tau_1^3\tau_0) \cos \theta \tag{16}$$

В возмущенном движении выражение для коэффициентов τ_0, τ_1 представляется в виде:

$$\begin{aligned}
\tau_0 &= \tau_0^0 + \tau_0^1; \\
\tau_1 &= \tau_1^0 + \tau_1^1.
\end{aligned} \tag{17}$$

где τ_0^0, τ_1^0 - значения коэффициентов, полученные при решении статической задачи термоупругого изгиба стержня; τ_0^1, τ_1^1 - неизвестные температурные коэффициенты, обусловленные колебаниями стержня.

Подставим выражения (15) в (14) и вычислим его с точностью до линейных членов:

$$\tau^4 = F_0^0 + F_1^0 \cos \theta + (\bar{F}_{00}^1 \tau_0^1 + \bar{F}_{01}^1 \tau_1^1) + (\bar{F}_{10}^1 \tau_0^1 + \bar{F}_{11}^1 \tau_1^1) \cos \theta; \tag{18}$$

где

$$\begin{aligned}
F_0^0 &= \tau_0^{04} + 3\tau_0^{02}\tau_1^{02} + \frac{3}{8}\tau_1^{04}; & F_1^0 &= 4\tau_0^{03}\tau_1^0 + 3\tau_0^0\tau_1^{03}; \\
\bar{F}_{00}^1 &= 4\tau_0^{03} + 6\tau_0^0\tau_1^{02}; & \bar{F}_{01}^1 &= \frac{3}{2}\tau_1^{03} + 6\tau_0^{02}\tau_1^0; \\
\bar{F}_{10}^1 &= 3\tau_1^{03} + 12\tau_0^{02}\tau_1^0; & \bar{F}_{11}^1 &= 4\tau_0^{03} + 9\tau_0^0\tau_1^{02}.
\end{aligned} \tag{19}$$

Тогда с учетом полученных соотношений линеаризованные уравнения теплопроводности в возмущениях для k -го сечения записывается в виде:

$$\begin{aligned}
\dot{\tau}_{n,k}^1 + \frac{n^2\lambda}{r^2c\rho} \tau_{n,k}^1 + \frac{c_0}{c\rho h 100^\circ} \left(\varepsilon^e + \frac{4n^2\varepsilon^i}{4n^2 - \varepsilon^i} \right) (\bar{F}_{n0,k}^1 \tau_{0,k}^1 + \bar{F}_{n1,k}^1 \tau_{1,k}^1) &= \\
= \frac{g_n q_*}{c\rho h 100^\circ} \langle \cos(\gamma - \vartheta_k^0) + \vartheta^1 \sin(\gamma - \vartheta_k^0) \rangle & \tag{20} \\
(n = 0, 1; k = 1, \dots, N) &
\end{aligned}$$

где ρ , c , λ - плотность, удельная теплоемкость и коэффициент теплопроводности материала оболочки; ε^e , ε^i - коэффициент черноты внешней и внутренней поверхности оболочки; r , h - радиус и толщина оболочки, $q_* = A_s S_0 L_0^2 / L^2$, A_s - коэффициент поглощения внешней

поверхности стержня; $S_0 = 1400 \text{ Вм/м}^2$; $L_0 = 149 \cdot 10^6 \text{ км}$ – среднее расстояние от Земли до Солнца; $L [\text{км}]$ – расстояние от объекта до Солнца.

$$g_0 = \frac{1}{\pi}, \quad g_1 = \frac{1}{2}, \quad g_n = -\frac{2}{(n^2 - 1)\pi} \cos \frac{n\pi}{2} \quad \text{при } n \geq 2; \quad (21)$$

Эти уравнения должны решаться совместно с линеаризованными уравнениями колебаний стержня, которые получаются на основе уравнения Лагранжа в обобщенных координатах. В формуле (9) для потенциальной энергии КЭ необходимо использовать выражения для изгибающего момента для нагретого тонкостенного стержня:

$$M = EI\kappa \quad (22)$$

где $\kappa = \frac{1}{R^2} \left(\frac{du}{d\theta} + \frac{d^3u}{d\theta^3} + \frac{\bar{R}\alpha}{r} T_1^1 \right)$ – кривизна стержня.

Таким образом, связанная задача термоупругих колебаний стержня описывается системой уравнений для векторов $\mathbf{q} = \mathbf{[v_1 \vartheta_1 u_2 v_2 \vartheta_2 \dots u_s v_s \vartheta_s]^T}$ и $\mathbf{\tau} = \mathbf{[\tau_{0,1}^1 \tau_{1,1}^1 \tau_{0,2}^1 \tau_{1,2}^1 \dots \tau_{0,s}^1 \tau_{1,s}^1]^T}$:

$$\begin{cases} \mathbf{M}\ddot{\mathbf{q}} + \mathbf{D}\dot{\mathbf{q}} + \mathbf{K}\mathbf{q} - \mathbf{S}\boldsymbol{\tau} = \mathbf{0}; \\ \dot{\boldsymbol{\tau}} + \mathbf{P}\boldsymbol{\tau} - \mathbf{N}\mathbf{q} = \mathbf{0}. \end{cases} \quad (23)$$

$$\mathbf{S}_k = \frac{\alpha 100^\circ EI}{rR^2} \begin{bmatrix} 0 & 0 & 0 & 0 \\ 0 & \frac{1}{2} \Delta \vartheta_k^0 & 0 & \frac{1}{2} \Delta \vartheta_k^0 \\ 0 & 0 & 0 & 0 \\ 0 & 0 & 0 & 0 \\ 0 & \frac{-2(\Delta \vartheta_k^0 - s_k)}{\Delta \vartheta_k^0} & 0 & \frac{-2(c_k \Delta \vartheta_k^0 - s_k)}{\Delta \vartheta_k^0} \\ 0 & \frac{-2(-1 + c_k)}{\Delta \vartheta_k^0} & 0 & \frac{-2(-1 + c_k + s_k \Delta \vartheta_k^0)}{\Delta \vartheta_k^0} \end{bmatrix}, \quad (24)$$

$$c_k = \cos(\theta_k), \quad s_k = \sin(\theta_k), \quad \Delta \vartheta_k^0 = \vartheta_k^0 - \vartheta_{k-1}^0.$$

$$\mathbf{P}_k = \frac{c_0}{c\rho h 100^\circ} \left[\begin{array}{c} \left(\tau_{0,k}^{0,3} + 6\tau_{0,k}^0 \tau_{1,k}^{0,2} \right) \boldsymbol{\varepsilon}^e \\ \left(\boldsymbol{\varepsilon}^e + \frac{4\varepsilon^i}{4-4\varepsilon^i} \right) \left(\tau_{1,k}^{0,3} + 12\tau_{0,k}^0 \tau_{1,k}^0 \right) \frac{h\lambda 100^\circ}{c_0 r^2} + \left(\boldsymbol{\varepsilon}^e + \frac{4\varepsilon^i}{4-4\varepsilon^i} \right) \left(\tau_{1,k}^{0,3} + 12\tau_{0,k}^0 \tau_{1,k}^0 \right) \boldsymbol{\varepsilon}^e \end{array} \right] \quad (25)$$

$$\mathbf{N}_k = \begin{bmatrix} 0 & 0 & \frac{g_0 q_*}{c\rho h 100^\circ} \sin(\gamma - \vartheta_k^0) \\ 0 & 0 & \frac{g_1 q_*}{c\rho h 100^\circ} \sin(\gamma - \vartheta_k^0) \end{bmatrix}, \quad (26)$$

Для исследования устойчивости системы однородных дифференциальных уравнений с постоянными коэффициентами (25), ее можно свести к системе уравнений первого порядка, если наряду с вектором обобщенных координат \mathbf{q} рассматривать в качестве

неизвестных вектор обобщенных скоростей $\mathbf{p} = \frac{d\mathbf{q}}{dt}$. Тогда получим матричное уравнение в блочном виде

$$\mathbf{A} \frac{d\mathbf{z}}{dt} + \mathbf{C}\mathbf{z} = \mathbf{0}, \quad (27)$$

$$\mathbf{A} = \begin{bmatrix} M & 0 & 0 \\ 0 & E & 0 \\ 0 & 0 & E \end{bmatrix}; \quad \mathbf{C} = \begin{bmatrix} D & K & -S \\ -E & 0 & 0 \\ -N & 0 & P \end{bmatrix}; \quad \mathbf{z} = \begin{bmatrix} p \\ q \\ \tau \end{bmatrix} = \mathbf{Z} \cdot e^{\lambda t}. \quad (28)$$

\mathbf{E} – единичная матрица.

Решение уравнения (29) ищется в виде $\mathbf{z}(t) = \mathbf{Z}e^{\lambda t}$ и сводится к проблеме собственных значений пары матриц $[\lambda\mathbf{A} + \mathbf{C}]\mathbf{Z} = \mathbf{0}$, которая может быть решена с помощью стандартных компьютерных программ.

Собственные значения этой проблемы или действительные числа $\lambda_v = \alpha_v$ или комплексно-сопряженные $\lambda_v = \alpha_v + i\omega_v$, $\bar{\lambda}_v = \alpha_v - i\omega_v$. Если хотя бы одно собственное значение имеет положительную действительную часть $\alpha_v > 0$, то система неустойчива по форме Z_v . При $\alpha_v > 0$ и $\omega_v \neq 0$ имеет место динамическая неустойчивость. На границе динамической неустойчивости $\alpha_v = 0$ и $\omega_v \neq 0$, т.е. $\lambda_v = +i\omega_v$, $\bar{\lambda}_v = -i\omega_v$.

Пример расчета

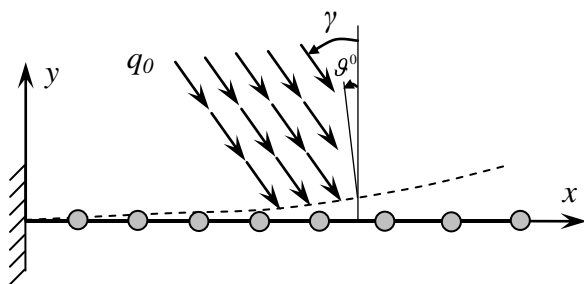


Рис. 4

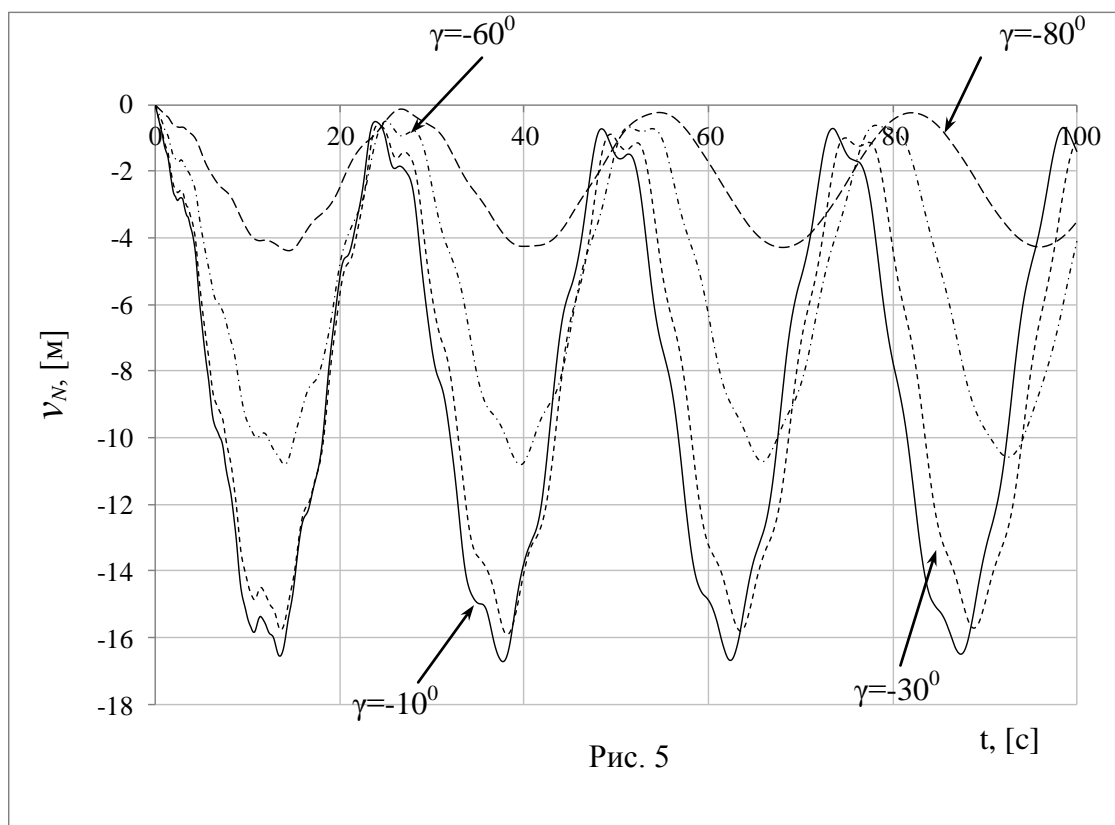
В качестве примера рассмотрим термоупругие колебания и динамическую неустойчивости стержня в плоскости падения солнечных лучей. Для расчета выберем следующие значения параметров: $l = 35$ м, $r = 0,025$ м, $h = 0.0001$ м, материал стержня алюминиевый сплав, $L_0 = 149 \cdot 10^6$ км – среднее

расстояние от Земли до Солнца, L [м] – расстояние от объекта до Солнца, $A_s = 0.5$ – коэффициент поглощения внешней поверхности стержня, $L_0 / L = 1$, $100^\circ \lambda = 5 \cdot 10^3$ Вт/м, $100^\circ \alpha = 1.1 \cdot 10^{-3}$, $\varepsilon^e = \varepsilon^i = 0.025$, $\eta = 1 \cdot 10^{-7}$, $\gamma = -10^\circ, -30^\circ, -60^\circ, -80^\circ$ – угол падения солнечных лучей.

При проведении расчетов стержень разбивался на 50 КЭ ($N = 50$).

Для уменьшения времени расчета и «плавности» решения, так как наличие в системе продольного перемещения накладывает эффект «дрожания» на результат решения, задача решалась в линейной постановке.

На рис. 5 приведены графики изменения поперечного прогиба на конце стержня $v_N(t)$ при различных углах падения солнечных лучей.



Расчеты на устойчивость колебаний стержня показали, что явления динамической неустойчивости возникают при углах падения солнечных лучей $\gamma = -10^\circ$ и $\gamma = -30^\circ$. При углах падения $\gamma = -60^\circ, -80^\circ$ колебания стержня устойчивые. В таблице 1 приведены собственные значения соответствующие 5-ти формам колебаний Z_v , по которым происходит потеря устойчивости.

Таблица 1

ν	$\gamma=-10^0$	$\gamma=-30^0$
1	11654417.53	16175014.97
2	11276832.18	0.035 + 2068i
3	8489056.44	3.06e-06 + 2095i
4	2.9e-07 + 1993i	8.3e-05 + 2107i
5	4.7e-06 + 2038i	1.76e-04 + 2118i

Метод перебора углов падения солнечных лучей γ , был найден «критический» угол $\gamma \approx -36^\circ$ после которого динамической неустойчивости не возникает.

Библиографический список

1. Шклярчук Ф.Н., Гришанина Т.В. Нелинейные и параметрические колебания упругих систем.. - М.: МАИ, 1993, 68 с..
2. Гришанина Т.В. Задачи по теории колебаний упругих систем. М.: Изд-во МАИ, 1998, 48 с.
3. Гришанина Т.В., Шклярчук Ф.Н. Динамика упругих управляемых конструкций. – М.: Изд-во МАИ, 2007. – 328 с.
4. Гришанина Т.В., Шклярчук Ф.Н. Связанная задача термоупругого изгиба и теплопроводности тонкостенного круглого стержня при солнечном нагреве// МТТ 2000, №6, с. 161-166.
5. Воробьев И. Н., Гришанина Т.В, Шклярчук Ф. Н. Нелинейные колебания спутника с упругим тонкостенным стержнем при солнечном нагреве// Вестник МАИ 2012, т. 19, №3, с. 160-170.
6. Марченко В.М. Температурные поля и напряжения в конструкциях летательных аппаратов. М.: Машиностроение, 1965. 298 с.
7. Florio F.A., Hobbs R.B.Jr. An analytical representation of temperature distribution in gravity gradient rods // AIAA J. 1968. V. 6. No. 1. P. 99–102.

Сведения об авторах

ВОРОБЬЕВ Илья Николаевич, аспирант Московского авиационного института (национального исследовательского университета).

МАИ, Волоколамское ш., 4, Москва, А-80, ГСП-3, 125993; e-mail: ivorobyev@inbox.ru